

磷脂酶参与的花生四烯酸 12-LOX 代谢通路在喉鳞状细胞癌中的作用及临床意义

王嘉¹ 李晓明² 徐鸥¹ 单春光¹

[摘要] 目的:研究磷脂酶(PL)C γ -2、花生四烯酸(AA)以及脂加氧酶-12(12-LOX)在喉鳞状细胞癌中的表达情况,探讨脂质代谢与喉鳞状细胞癌的关系。方法:选取 30 例喉癌组织以及癌旁组织(均经病理检查为正常组织),以免疫组织化学法(SP 法)检测 PLC γ -2 和 12-LOX 的表达,以气相色谱联合质谱法检测 AA 的含量。结果:喉癌组织中 PLC γ -2 和 12-LOX 的表达高于正常组织($P<0.05$),而 AA 含量低于正常组织($P<0.05$);PLC γ -2 和 12-LOX 与喉癌的临床分期、病理分化以及淋巴结转移有密切关系($P<0.05$);AA 与喉癌的临床分期、病理分化以及淋巴结转移无关($P>0.05$);PLC γ -2、AA 以及 12-LOX 与年龄无关($P>0.05$)。结论:PLC γ -2、AA 和 12-LOX 三者与喉癌关系密切,阻断此通路,可能对喉癌的治疗有一定的意义。

[关键词] 喉肿瘤;磷脂酶 C γ -2;脂加氧酶-12;花生四烯酸

[中图分类号] R739.65 **[文献标志码]** A **[文章编号]** 1001-1781(2013)24-1355-05

The role and clinical significance of 12-LOX passway in arachidonic acid metabolism induced by phospholipase C γ -2 in laryngeal squamous cell carcinoma

WANG Jia¹ LI Xiaoming² XU Ou¹ SHAN Chunguang¹

(¹Department of Otolaryngology, the Second Affiliated Hospital of Hebei Medical University, Shijiazhuang, 050000, China; ²Department of Otolaryngology, the Peace Hospital of Hebei Medical University)

Corresponding author: SHAN Chunguang, E-mail: shanchunguang@163.com

Abstract Objective: To explore the expression of phospholipase C γ -2(PLC γ -2), lipoxygenase-12(12-LOX) and arachidonic acid (AA) in laryngeal squamous cell carcinoma and to study the relationship between lipid metabolism and laryngeal squamous cell carcinoma. **Method:** In 30 cases of carcinoma tissue and peritumoral laryngeal mucosa tissues (confirmed to be normal laryngeal tissues by pathology), immunohistochemical method (Streptavidin-peroxidase method, SP method) was used for the detection of expression of PLC γ -2 and 12-LOX, and gas chromatography/mass spectrometry(GC/MS) for the content of the arachidonic acid in carcinoma tissue and peritumoral normal laryngeal mucosa tissues. **Result:** The positive rates of PLC γ -2 and 12-LOX in carcinoma tissue were higher than in peritumoral normal laryngeal mucosa tissues with statistically significant differences ($P<0.05$). The content of arachidonic acid was lower in carcinoma tissue than in peritumoral normal laryngeal mucosa tissues with statistically significant difference($P<0.05$). The positive expressions of PLC γ -2 and 12-LOX were closely correlated to tn m stage, histological differentiation and lymph node metastasis ($P<0.05$). The content of arachidonic acid had no significant correlations with tn m stage, histological differentiation and lymph node metastasis ($P>0.05$). Both the expression of PLC γ -2 and 12-LOX and the content of arachidonic acid had no statistically significant correlation with age($P>0.05$). **Conclusion:** PLC γ -2, AA and 12-LOX play important roles in laryngeal squamous cell carcinoma. It may be meaningful to the treatment of laryngeal carcinoma by suppressing this passway.

Key words laryngeal neoplasms; phospholipase C γ -2; lipoxygenase-12; arachidonic acid

花生四烯酸(arachidonic acid, AA)代谢通路中比较重要的两条分别是环加氧酶(cyclooxygenase, COX)通路和脂加氧酶(lipoxygenase, LOX)通路。以前,人们研究重点主要集中于 COX 代谢

通路与癌症的关系,而其中一项重要成果就是 COX 的抑制剂可以抑制某些癌症的发展^[1],以及 COX 和肿瘤的 TNM 分期有一定程度的关系^[2]。近几年,研究发现 12-LOX 代谢通路亦与癌症密切相关。本实验以免疫组织化学 SP 法检测喉癌组织和癌旁组织中 PLC γ -2 和 12-LOX 的表达,以气相色谱联合质谱方法检测喉癌组织和癌旁组织中

¹河北医科大学第二医院耳鼻咽喉科(石家庄,050000)

²白求恩国际和平医院耳鼻咽喉科

通信作者:单春光, E-mail: shanchunguang@163.com

AA 的含量,探讨 PLC γ -2 参与的 AA 的 12-LOX 代谢通路在喉鳞状细胞癌中的作用及其临床意义。

1 材料与方法

1.1 材料

标本来源:选取河北医科大学第二医院耳鼻咽喉科 2011-02—2012-05 收治的喉鳞状细胞癌患者共 30 例,全部为男性,年龄 53~70 岁,平均 60.1 岁,其中 53~60 岁 19 例,61~70 岁 11 例。术前均未经放化疗处理。按 2002 年国际抗癌联盟(UICC)标准进行临床特征分期,其中 I~II 期 18 例,III~IV 12 例;按肿瘤分化程度分级,其中高分化 22 例,中低分化 8 例;经病理确认有颈部淋巴结转移 14 例,未转移 16 例。

试剂:一抗 PLC γ -2 购自南京巴傲得生物科技有限公司,一抗 12-LOX 购自北京博奥森生物技术有限公司,AA 购自梯希爱化成工业发展有限公司,鼠 Spkit 试剂盒购于北京博奥森生物技术有限公司,DAB 显色试剂盒购于北京中杉金桥生物技术有限公司。

1.2 方法

免疫组织化学 SP 法检测喉癌组织和癌旁组织中 PLC γ -2 和 12-LOX 的表达,抗体效价比均为 1:100,以 PBS 液代替一抗作阴性对照。

以气相色谱联合质谱法检测喉癌组织和癌旁组织中 AA 的含量,分析条件:①气相色谱条件:进样量,1 μ l;进样口温度,270℃;流量,1 ml/min;升温;接口温度,260℃。②MS 条件:离子源温度,200℃;检测质荷比范围,30~600;溶剂延时,5 min;扫描速度,20 张图谱/s。

1.3 结果判定

1.3.1 免疫组织化学法 以 PBS 代替一抗为阴性对照结果。PLC γ -2、12-LOX 阳性染色表现为胞质内出现棕黄色颗粒。参考 Krajewska(1996)等的标准在高倍镜下随机观察 5 个视野,按阳性细胞比例将 0、1%~25%、26%~50%、51%~75%、>76% 分别计 0~4 分;按染色强度将无色、黄色、棕黄色、棕褐色分别计为 0~3 分,最后综合两者得分。0 分为阴性,1~5 分为弱阳性,>6 分为强阳性,弱阳性和强阳性统称为阳性。

1.3.2 气相色谱联合质谱法 每个样本表现为一个气相色谱联合质谱总体离子色谱图。经过对比和测定,确定了代表 AA 的色谱峰的保留时间为 18.172 min。利用面积归一法,计算 AA 的浓度。

1.4 统计学分析

临床资料采用 χ^2 检验,组间比较采用完全随机设计两均数比较的 t 检验。AA 的数据以 $\bar{x} \pm s$ 表示。所有数据均采用 SPSS 13.0 统计软件分析,以 $P < 0.05$ 为差异有统计学意义。

2 结果

2.1 PLC γ -2 与喉癌的关系

PLC γ -2 与喉癌的关系见图 1a、b 和表 1。PLC γ -2 阳性表现为细胞核和细胞质着色,阳性细胞呈棕黄色颗粒状或细网状,色泽深浅不等,阴性表现为蓝色颗粒。PLC γ -2 在喉癌组织中的表达高于正常组织($P < 0.05$),在 I~II 期中的表达低于 III~IV 期($P < 0.05$),在高分化组中的表达高于中低分化组($P < 0.05$),其表达与年龄无关($P > 0.05$)。

表 1 PLC γ -2 在喉癌和正常组织中的表达情况
例(%)

	例数	强阳性	弱阳性	阴性	阳性率/%
临床分期					
I~II 期	18	2	3	13	27.78 ^①
III~IV 期	12	5	4	3	75.00
病理分化					
高分化	22	6	7	9	59.09 ^②
中低分化	8	1	0	7	12.50
组织					
正常组织	30	1	4	25	16.67 ^③
喉癌组织	30	7	7	16	46.67
年龄					
53~60 岁组	19	3	4	12	36.84
61~70 岁组	11	4	3	4	63.64

与 III~IV 期比较,^① $P < 0.05$;与中低分化比较,^② $P < 0.05$;与喉癌组织比较,^③ $P < 0.05$ 。

2.2 12-LOX 与喉癌的关系

12-LOX 与喉癌的关系见图 2a、b 和表 2。12-LOX 阳性表现为细胞质着色,阳性细胞呈棕黄色颗粒状或棒状,色泽深浅不等,阴性表现为蓝色颗粒。12-LOX 在喉癌组织中的表达高于正常组织($P < 0.05$),在 I~II 期中的表达低于 III~IV 期($P < 0.05$),在高分化组中的表达低于中低分化组($P < 0.05$),与年龄无关。

2.3 PLC γ -2 和 12-LOX 与癌旁淋巴结转移

PLC γ -2 和 12-LOX 均与癌细胞淋巴结转移有关($P < 0.05$),见表 3。

2.4 AA 与喉癌的关系

AA 与喉癌的关系见表 4。AA 在正常组织中的含量高于喉癌组织($P < 0.05$),AA 的含量与癌症的临床分期、病理分化、淋巴结转移和年龄无关($P > 0.05$)。

3 讨论

PLC γ -2 被激活后,与二酰甘油酯酶共同作用于细胞膜中的磷脂,从而生成 AA 和其他产物。而 AA 可被 12-LOX 特异性催化,生成白三烯(leukotriene, LT)、脂氧素等炎性物质。

表2 12-LOX在喉癌和正常组织中的表达情况

	例数	强阳性	弱阳性	阴性	阳性率/%
临床分期					
I ~ II期	18	2	2	14	22.22 ¹⁾
III ~ IV期	12	6	2	4	66.67
病理分化					
高分化	22	3	3	16	27.27 ²⁾
中低分化	8	5	1	2	75.00
组织					
正常组织	30	1	2	27	10.00 ³⁾
喉癌组织	30	8	4	18	40.00
年龄					
53~60岁组	19	6	2	11	42.11
61~70岁组	11	2	2	7	36.36

与III~IV期比较,¹⁾ $P < 0.05$; 与中低分化比较,²⁾ $P < 0.05$; 与喉癌组织比较,³⁾ $P < 0.05$ 。

表3 喉癌淋巴结转移组和未转移组中PLC γ -2和12-LOX表达情况

	强阳性	弱阳性	阴性	例
PLC γ -2				
转移组	6	4	4	
未转移组	1 ¹⁾	3 ¹⁾	12 ¹⁾	
12-LOX				
转移组	7	2	5	
未转移组	1 ²⁾	2 ²⁾	13 ²⁾	

与PLC γ -2转移组比较,¹⁾ $P < 0.05$; 与12-LOX转移组比较,²⁾ $P < 0.05$ 。

首先,PLC γ -2可以为细胞提供存活信号^[3],抑制细胞凋亡。此外PLC γ -2可以间接激活蛋白激酶C(protein kinase C, PKC),有证据证明,在其他癌组织中PKC几乎均呈现高表达的状态^[4]。其次,人们发现PLC γ -2还能诱导细胞分化成熟^[5-6]。本实验中,高分化鳞状细胞癌中PLC γ -2表达强于中低分化鳞状细胞癌,也与此相同。再次,多种肌动蛋白结合蛋白可以结合PLC γ -2的底物磷脂酰

肌醇4,5二磷酸(phosphatidylinositol bisphosphate,PIP2),对酶的活性产生竞争性抑制,以至于肌动蛋白的聚合和胞质凝胶化的过程受阻。因此当PLC γ -2被大量激活后,催化分解PIP2,使得能与肌动蛋白结合蛋白结合的PIP2明显减少,同时亦使细胞骨架发生变化,产生细胞变形、运动^[7]。本实验中,癌细胞淋巴结转移组的PLC γ -2表达高于未转移组,也印证了此点。

表4 AA在各组中的含量比较

组别	AA含量
临床分期	
I ~ II期	0.191±0.053
III ~ IV期	0.083±0.057
病理分化	
高分化	0.184±0.016
中低分化	0.049±0.032
组织	
正常组织	0.579±0.095
喉癌组织	0.147±0.064 ¹⁾
淋巴结	
转移组	0.138±0.064
未转移组	0.145±0.048
年龄	
53~60岁组	0.191±0.043
61~70岁组	0.158±0.052

与正常组织比较,¹⁾ $P < 0.05$ 。

氧化应激(oxidative stress, OS)产生的活性氧可以对细胞和组织造成损伤已达成共识^[8-10]。所谓OS是指机体细胞在受到有害刺激的时候,细胞内氧化与抗氧化的系统失衡,以至于细胞倾向于氧化,产生大量具有氧化性的物质。活性氧攻击染色体,可引起细胞的恶变^[9]。而细胞恶变后,可以产生更多的活性氧,不断促发正常细胞的恶性化^[10-11],形成恶性循环。而AA能通过激活谷胱甘肽过氧化物(glutathione peroxidase)^[12],来抑制细胞内的氧化应激反应。此外,AA还可以通过以

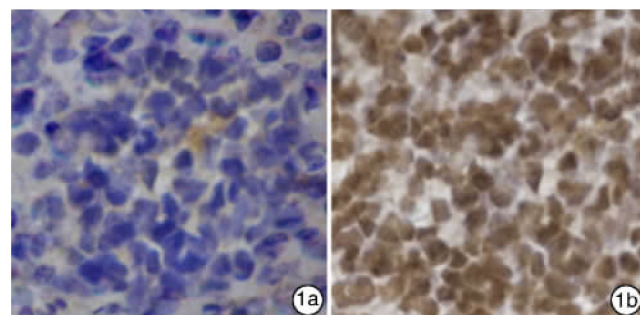
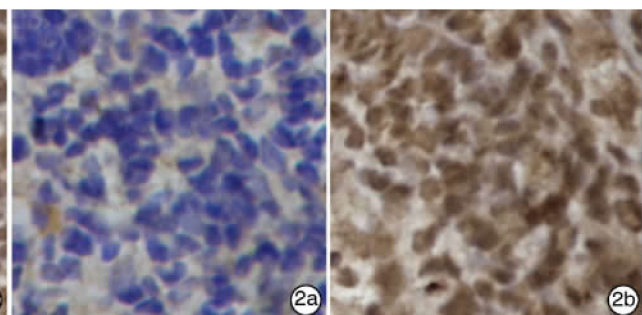


图1 PLC γ -2在正常组织(1a)和喉癌(1b)中的表达(SP×200); 图2 12-LOX在正常组织(2a)和喉癌(2b)中的表达(SP×200)



下机制抑制氧化应激:第一,解耦连^[13];第二,抑制 NADPH 氧化酶活性^[14];第三,抑制诱导型一氧化氮合酶活性^[15]。本实验中,癌组织中 AA 含量少于正常组织,可能与此有关,而 AA 与喉癌的临床分期、病理分化和淋巴结转移差异无统计学意义可能是因为 AA 还存在 COX 等其他代谢途径,使得癌组织中的 AA 含量普遍过低,与 12-LOX 之间差异无统计学意义。

12-LOX 在人体内呈现低表达状态,但在癌组织中表达相对较强^[16-17],而且 Nie 等^[18]发现,随着癌组织侵犯范围的扩大以及临床分期的增高,12-LOX 的表达水平也随之增高。这都与本实验结果相符。12-LOX 可以促进多种肿瘤细胞的增殖,这可能与 12-LOX 上调血管内皮生长因子的表达有关^[19]。Winer 等^[20]研究后发现,12-LOX 在侵袭性高的癌组织里表达较强。本实验中,高分化喉癌中的 12-LOX 表达低于中低分化喉癌,也证明了此点。12-LOX 可以激活 PKC^[21],而膜整合蛋白 $\alpha\gamma\beta 3$ 和 $\alpha\gamma\beta 5$ 介导的癌细胞转移恰恰有赖于 PKC 的激活,同时其还能促进新生血管的形成^[22],所以 12-LOX 过度表达可以促进肿瘤细胞的转移。本实验中,淋巴结转移组 12-LOX 表达强于未转移组,也与此相符。

AA 经过 12-LOX 催化,生成 LT 等炎性物质。本实验虽未测定本批标本中的 LT 等炎性物质,但炎症与肿瘤之间的关系一直受到各国学者的高度重视。有资料显示:高达 15% 以上的癌症与炎症有一定程度的关系^[23]。炎症可以促进肿瘤基质的生成以及新生血管的形成,这些对肿瘤的发生、发展、转移都是十分重要的^[24-27]。炎性递质还可以损伤 DNA,而慢性炎症会产生局部的免疫抑制,这可能与免疫细胞膜上的 ζ 链表达下调有关^[28]。

由于 AA 的代谢通路不止 LOX 一条,所以我们发现,单纯阻断其中某一条通路,疗效并不明显,可能是因为另一条通路的代偿。同时阻断两条通路的方法其疗效尚无定论,不过这也为喉癌的治疗提供了一个思路。

参考文献

- [1] 宣卓琦, 丁永斌. AA 代谢与肿瘤的研究进展[J]. 西部医学, 2009, 21(10): 1809—1811.
- [2] HERMANOVÁ M, KARASEK P, TOMASEK J, et al. Comparative analysis of clinical pathological correlations of cyclooxygenase-2 expression in resectable pancreatic cancer[J]. World J Gastroenterol, 2010, 16: 1879—1884.
- [3] ZHANG B, WU Q, YE X F, et al. Roles of PLC-gamma2 and PKC α in TPA-induced apoptosis of gastric cancer cells[J]. World J Gastroenterol, 2003, 9: 2413—2418.
- [4] KIM K M, KANG D W, MOON W S, et al. PKC θ expression in gastrointestinal stromal tumor [J]. Mod Pathol, 2006, 19: 1480—1486.
- [5] 陈启, 白丽. 磷脂酶 C $\gamma 2$ 与 B 淋巴细胞[J]. 国际免疫学杂志, 2009, 32(5): 372—375.
- [6] WEBER M, TREANOR B, DEPOIL D, et al. Phospholipase C-gamma2 and Vav cooperate within signalling microclusters to propagate B cell spreading in response to membranebound antigen [J]. Exp Med, 2008, 205: 853—868.
- [7] 白洁, 罗深秋, 冀群升. 磷脂酶 C- $\gamma 2$ 对鼠成纤维细胞株迁移能力的影响[J]. 生命科学研究, 2001, 5(1): 33—38.
- [8] CAMPOS A C, MOLOGNONI F, MELO F H, et al. Oxidative stress modulates DNA methylation during melanocyte anchorage blockade associated with malignant transformation[J]. Neoplasia, 2007, 9: 1111—1121.
- [9] PEJIC S, KASAPOVIE J, TODOROVIC A, et al. Lipid peroxidation and antioxidant status in blood of patients with uterine myoma, endometrium[J]. Biol Res, 2006, 39: 619—629.
- [10] PATEL B P, RAWAL U M, DAVE T K, et al. Lipid peroxidation total antioxidant status, and total thiol levels predict overall survival in patients with oral squamous cell carcinoma[J]. Integr Cancer Ther, 2007, 6: 365—372.
- [11] TSAO S M, YIN M C, LIU W H, et al. Oxidant stress and B vitamins status in patients with nonsmall cell lung cancer[J]. Nutr Cancer, 2007, 59: 8—13.
- [12] FREEMAN E J, SHEAKLEY M L, CLEMENTS R J. Angiotensin II dependent growth of vascular smooth muscle cells requires transactivation of the epidermal growth factor receptor via a cytosolic phospholipase A(2) mediated release of arachidonic acid [J]. Arch Biochem, 2010, 498: 50—56.
- [13] SCHÖNFELD P, WOJTCZAK L. Fatty acids decrease mitochondrial generation of reactive oxygen species at the reverse electron transport but increase it at the forward transport[J]. Biochim Biophys Acta, 2007, 1767: 1032—1040.
- [14] KEANE D C, TAKAHASHI H K, DHAYAL S, et al. Arachidonic acid actions on functional integrity and attenuation of the negative effects of palmitic acid in a clonal pancreatic β -cell line[J]. Clin Sci(Lond), 2011, 120: 195—206.
- [15] PALOMBA L, CERIONI L, CANTONI O. Arachidonic acid inhibits neuronal nitric oxide synthase elicited by proinflammatory stimuli and promotes astrocyte survival with both exogenous and endogenous peroxynitrite via different mechanisms[J]. J Neurosci Res, 2010, 88: 2459—2468.
- [16] MOHAMMAD A M, ABDEL H A, ABDEL W, et al. Expression of cyclooxygenase-2 and 12-lipoxygenase in human breast cancer and their relationship with

- HER-2/neu and hormonal receptors: impact on prognosis and therapy[J]. Indian J Cancer, 2006, 43: 163—168.
- [17] BEDNAR W, HOLZMANN K, MARIAN B. Assessing 12(S)-lipoxygenase inhibitory activity using colorectal cancer cells overexpressing the enzyme[J]. Food Chem Toxicol, 2007, 45: 508—514.
- [18] NIE D, TANG K, SZEKERES K, et al. Eicosanoid regulation of angiogenesis in human prostate carcinoma and its therapeutic implications[J]. Ann N Y Acad Sci, 2000, 905: 165—176.
- [19] NIE D, KRISHNAMOORTHY S, JIN R, et al. Mechanisms regulating tumor angiogenesis by 12-lipoxygenase in prostate cancer cells[J]. Biol Chem, 2006, 281: 18601—18609.
- [20] WINER I, NORMOLLE D P, SHUREIQI I, et al. Expression of 12-lipoxygenase as a biomarker for melanoma carcinogenesis[J]. Melanoma Res, 2002, 12: 429—434.
- [21] 邓君健,徐细明.脂加氧酶在肿瘤中的研究进展[J].肿瘤学杂志,2011,17(4): 289—293.
- [22] KRISHNAMOORTHY S, JIN R, CAI Y, et al. 12-Lipoxygenase and the regulation of hypoxia-inducible factor in prostate cancer cells[J]. Exp Cell Res, 2010, 316: 1706—1715.
- [23] SUTCLIFFE S, PLATZ E A. Inflammation and prostate cancer: a focus on infections[J]. Curr Urol Rep, 2008, 9: 243—249.
- [24] MBEUNKUI F, JOHANN D J. Cancer and the tumor microenvironment: a review of an essential relationship[J]. Cancer Chemother Pharmacol, 2009, 63: 571—582.
- [25] ZHANG X, NIE D, CHAKRABARTY S. Growth factors in tumor microenvironment[J]. Front Biosci (Landmark Ed), 2010, 15: 151—165.
- [26] MALETZKI C, EMMRICH J. Inflammation and immunity in the tumor environment[J]. Dig Dis, 2010, 28: 574—578.
- [27] DUAN R D, NILSSON A. Metabolism of sphingolipids in the gut and its relation to inflammation and cancer development[J]. Prog Lipid Res, 2009, 48: 62—72.
- [28] BANIYASH M. Chronic inflammation, immunosuppression and cancer: new insights and outlook[J]. Semin Cancer Biol, 2006, 16: 80—88.

(收稿日期:2013-01-30)

(上接第 1354 页)

- leading to cellular senescence of MCF-7 breast cancer cells[J]. Cancer Res Clin Oncol, 2012, 138: 1045—1055.
- [2] LIN J, LAI M, HUANG Q, et al. Reactivation of IGFBP7 by DNA demethylation inhibits human colon cancer cell growth in vitro[J]. Cancer Biol Ther, 2008, 7: 1896—1900.
- [3] CHEN Y, PACYNA-GENQELBACH M, YE F, et al. Insulin-like growth factor binding protein-related protein 1 (IGFBP-rP1) has potential tumor-suppressive activity in human lung cancer[J]. J Pathol, 2007, 211: 431—438.
- [4] BIRD A. Molecular biology. Methylation talk between histones and DNA[J]. Science, 2001, 294: 2113—2115.
- [5] SMITH P, NICHOLSON LJ, SYED N, et al. Epigenetic inactivation implies independent functions for insulin-like growth factor binding protein (IGFBP)-re-

lated protein 1 and the related IGFBPL1 in inhibiting breast cancer phenotypes[J]. Clin Cancer Res, 2007, 13: 4061—4068.

- [6] YAMASHITA S, TSUJINO Y, MORIGUCHI K, et al. Chemical genomic screening for methylation-silenced genes in gastric cancer cell lines using 5-aza-2'-deoxycytidine treatment and oligonucleotide microarray[J]. Cancer Sci, 2006, 97: 64—71.
- [7] MCCAG C, PERKS C M, HOLLY J M. Intrinsic actions of IGFBP-3 and IGFBP-5 on Hs578T breast cancer epithelial cells: inhibition or accentuation of attachment and survival is dependent upon the presence of fibronectin[J]. J Cell Sci, 2002, 115: 4293—4303.
- [8] DEGEORGES A, WANG F, FRIERSON H F Jr., et al. Human prostate cancer expresses the low affinity insulin-like growth factor binding protein IGFBP-rP1[J]. Cancer Res, 1999, 59: 2787—2790.

(收稿日期:2013-02-18)